

Modelo de Jaynes-Cummings

Consideramos un átomo de dos niveles en una cavidad tal que el átomo se acopla a un único modo del campo electromagnético. Usando la aproximación de onda rotante, el Hamiltoniano puede escribirse en la forma $\hat{H} = (\hat{H}_0 + \hat{V})$, con $\hat{H}_0 = (\hbar\omega_0|e\rangle\langle e| + \hbar\omega_c\hat{a}^\dagger\hat{a})$ y $\hat{V} = \hbar g(\hat{a}\hat{\sigma}_+ + \hat{a}^\dagger\hat{\sigma}_-)$ (el uso de la letra g para dos cosas distintas es convencional... dado el contexto tiene que ser claro a qué se refiere).

- Mostrar que el número total de excitaciones se conserva, es decir, $[\hat{H}, \hat{N}] = 0$ donde $\hat{N} = (\hat{a}^\dagger\hat{a} + |e\rangle\langle e|)$.
- De acuerdo al resultado anterior, el espacio puede descomponerse en subespacios de dos niveles de la forma $\{|g, (n+1)\rangle, |e, n\rangle\}$, según los autovalores del operador \hat{N} , y la evolución temporal sólo acopla pares de estados dentro del mismo subespacio (el estado $|g, 0\rangle$ queda desacoplado de los demás). Escribir el Hamiltoniano como matriz de 2×2 para cada uno de estos subespacios.
- Dibujar esquemáticamente el espectro del subespacio $\{|g, (n+1)\rangle, |e, n\rangle\}$ como función de la desintonía $\Delta_c = (\omega_c - \omega_0)$ (dejando fijo ω_c u ω_0 a elección). Indicar qué forma toman los autoestados y autovalores en el caso resonante y en los límites muy lejos de la resonancia.
- Considerar el caso resonante, $\Delta_c = 0$, y calcular todos los autoestados y autovalores. Graficar los primeros siete niveles de energía (recordar que el modelo asume $\omega_0 \gg g$), e indicar los autoestados correspondientes. Calcular la evolución temporal de un estado inicial $|g, (n+1)\rangle$, y la probabilidad de encontrar el átomo en su estado excitado como función del tiempo. Indicar la frecuencia de oscilación de esta probabilidad.
- Suponer que en el caso resonante, el estado inicial es de la forma $|g, \alpha\rangle$ con el átomo en el estado fundamental y el campo en un estado coherente. Calcular la evolución temporal del estado, y la probabilidad de encontrar el átomo en el estado excitado como función del tiempo, teniendo en cuenta que $p_e(t) = \sum_n p_{e,n}(t)$, es decir la suma de la probabilidades de encontrar el átomo en el estado excitado y el campo en cualquier estado $|n\rangle$. Graficar (numéricamente) para los casos $|\alpha|^2 = \{10, 20, 30, 50\}$. Discutir el comportamiento para $|\alpha|^2 \gg 1$ y comparar con el resultado semiclásico.

Solución**Inciso a)**

$$[\hat{H}, \hat{N}] = [(\hat{H}_0 + \hat{V}), \hat{N}] = [\hat{H}_0, \hat{N}] + [\hat{V}, \hat{N}]$$

y analizando cada conmutador por separado tendremos por un lado que,

$$\begin{aligned} [\hat{H}_0, \hat{N}] &= (\hbar\omega_0|e\rangle\langle e| + \hbar\omega_c\hat{a}^\dagger\hat{a})(\hat{a}^\dagger\hat{a} + |e\rangle\langle e|) - (\hat{a}^\dagger\hat{a} + |e\rangle\langle e|)(\hbar\omega_0|e\rangle\langle e| + \hbar\omega_c\hat{a}^\dagger\hat{a}) \\ \Rightarrow [\hat{H}_0, \hat{N}] &= \hbar\omega_0|e\rangle\langle e|\hat{a}^\dagger\hat{a} + \hbar\omega_0|e\rangle\langle e|\underbrace{\langle e|e\rangle}_{=1}\langle e| + \hbar\omega_c(\hat{a}^\dagger\hat{a})^2 + \hbar\omega_c\hat{a}^\dagger\hat{a}|e\rangle\langle e| - \dots \\ &\quad \dots - \hbar\omega_0\hat{a}^\dagger\hat{a}|e\rangle\langle e| - \hbar\omega_c(\hat{a}^\dagger\hat{a})^2 - \hbar\omega_0|e\rangle\langle e|\underbrace{\langle e|e\rangle}_{=1}\langle e| - \hbar\omega_c|e\rangle\langle e|\hat{a}^\dagger\hat{a} \Rightarrow [\hat{H}_0, \hat{N}] = 0 \quad (1) \end{aligned}$$

donde se usó el hecho de que $[\hat{a}^\dagger\hat{a}, |e\rangle\langle e|] = 0$.

Por otro lado tendremos que,

$$\begin{aligned}
[\hat{V}, \hat{N}] &= \hbar g (\hat{a} \hat{\sigma}_+ + \hat{a}^\dagger \hat{\sigma}_-) (\hat{a}^\dagger \hat{a} + |e\rangle\langle e|) - (\hat{a}^\dagger \hat{a} + |e\rangle\langle e|) \hbar g (\hat{a} \hat{\sigma}_+ + \hat{a}^\dagger \hat{\sigma}_-) \\
&\Rightarrow [\hat{V}, \hat{N}] = \hbar g \hat{a} \hat{\sigma}_+ \hat{a}^\dagger \hat{a} + \hbar g \hat{a} \hat{\sigma}_+ |e\rangle\langle e| + \hbar g \hat{a}^\dagger \hat{\sigma}_- \hat{a}^\dagger \hat{a} + \hbar g \hat{a}^\dagger \hat{\sigma}_- |e\rangle\langle e| - \dots \\
&\quad \dots - \hbar g \hat{a}^\dagger \hat{a} \hat{\sigma}_+ - \hbar g \hat{a}^\dagger \hat{a} \hat{\sigma}_- - \hbar g |e\rangle\langle e| \hat{a} \hat{\sigma}_+ - \hbar g |e\rangle\langle e| \hat{a}^\dagger \hat{\sigma}_- \\
&\Rightarrow [\hat{V}, \hat{N}] = \hbar g \hat{\sigma}_+ \hat{a} \hat{a}^\dagger \hat{a} + \hbar g \hat{\sigma}_+ |e\rangle\langle e| \hat{a} + \hbar g \hat{\sigma}_- (\hat{a}^\dagger)^2 \hat{a} + \hbar g \hat{\sigma}_- |e\rangle\langle e| \hat{a}^\dagger - \dots \\
&\quad \dots - \hbar g \hat{\sigma}_+ \hat{a}^\dagger \hat{a}^2 - \hbar g \hat{\sigma}_- \hat{a}^\dagger \hat{a} \hat{a}^\dagger - \hbar g |e\rangle\langle e| \hat{\sigma}_+ \hat{a} - \hbar g |e\rangle\langle e| \hat{\sigma}_- \hat{a}^\dagger
\end{aligned}$$

donde se usó el hecho de que $[\hat{a}, \hat{\sigma}_\pm] = [\hat{a}^\dagger, \hat{\sigma}_\pm] = 0$

y, recordando que $\hat{\sigma}_+ = |e\rangle\langle g| = (\hat{\sigma}_-)^\dagger$

$$\begin{aligned}
&\Rightarrow \hat{\sigma}_+ |e\rangle\langle e| = (|e\rangle\langle e| \hat{\sigma}_-)^\dagger = |e\rangle \underbrace{\langle g|e\rangle}_{=0} \langle e| = 0 \\
&\Rightarrow \hat{\sigma}_- |e\rangle\langle e| = (|e\rangle\langle e| \hat{\sigma}_+)^\dagger = |g\rangle \underbrace{\langle e|e\rangle}_{=1} \langle e| = \hat{\sigma}_-
\end{aligned}$$

entonces

$$\begin{aligned}
[\hat{V}, \hat{N}] &= \hbar g [\hat{\sigma}_+ \hat{a} \hat{a}^\dagger \hat{a} + \hat{\sigma}_- (\hat{a}^\dagger)^2 \hat{a} + \hat{\sigma}_- \hat{a}^\dagger - \hat{\sigma}_+ \hat{a}^\dagger \hat{a}^2 - \hat{\sigma}_- \hat{a}^\dagger \hat{a} \hat{a}^\dagger - \hat{\sigma}_+ \hat{a}] \\
&\Rightarrow [\hat{V}, \hat{N}] = \hbar g [\hat{\sigma}_+ [\hat{a}, \hat{a}^\dagger] \hat{a} + \hat{\sigma}_- \hat{a}^\dagger [\hat{a}^\dagger, \hat{a}] + \hat{\sigma}_- \hat{a}^\dagger - \hat{\sigma}_+ \hat{a}] \\
&\Rightarrow [\hat{V}, \hat{N}] = \hbar g [\hat{\sigma}_+ ([\hat{a}, \hat{a}^\dagger] - 1) \hat{a} + \hat{\sigma}_- \hat{a}^\dagger ([\hat{a}^\dagger, \hat{a}] + 1)] \Rightarrow [\hat{V}, \hat{N}] = 0 \quad (2)
\end{aligned}$$

donde se usó que $[\hat{a}, \hat{a}^\dagger] = -[\hat{a}^\dagger, \hat{a}] = \hat{I}$.

Finalmente, concluimos que $[\hat{H}, \hat{N}] = 0$ y el observable "número de excitaciones" \hat{N} es una constante de movimiento. Y como ambos operadores conmutan podemos asegurar que existe una base común que diagonaliza a ambos operadores.

Inciso b)

Usando los autovalores de los operadores creación y aniquilación

$$\hat{a}^\dagger |n\rangle = \sqrt{n+1} |(n+1)\rangle; \hat{a} |n\rangle = \sqrt{n} |(n-1)\rangle$$

podremos concluir que la base $\mathcal{B} = \{|g, (n+1)\rangle, |e, n\rangle\}$ es el conjunto de todos los autoestados del operador \hat{N} . Esto lo podemos ver por partes, primero analizando los términos diagonales tendremos,

$$\begin{aligned}
\hat{N} |g, (n+1)\rangle &= (\hat{a}^\dagger \hat{a} + |e\rangle\langle e|) |g, (n+1)\rangle \\
&\Rightarrow \hat{N} |g, (n+1)\rangle = |g\rangle \otimes (\hat{a}^\dagger \hat{a} |(n+1)\rangle) + (|e\rangle \underbrace{\langle e|g\rangle}_{=0}) \otimes |(n+1)\rangle \\
&\Rightarrow \hat{N} |g, (n+1)\rangle = |g\rangle \otimes (\hat{a}^\dagger \sqrt{n+1} |n\rangle) = |g\rangle \otimes (\sqrt{n+1} \sqrt{n+1} |(n+1)\rangle) \\
&\Rightarrow \hat{N} |g, (n+1)\rangle = (n+1) |g, (n+1)\rangle \Rightarrow \langle g, (n+1) | \hat{N} |g, (n+1)\rangle = (n+1) \quad (3)
\end{aligned}$$

y de forma análoga obtenemos que

$$\hat{N} |e, n\rangle = (\hat{a}^\dagger \hat{a} + |e\rangle\langle e|) |e, n\rangle$$

$$\begin{aligned}
&\Rightarrow \hat{N}|e, n\rangle = |e\rangle \otimes (\hat{a}^\dagger \hat{a}|n\rangle) + (|e\rangle \underbrace{\langle e|e\rangle}_{=1}) \otimes |n\rangle \\
&\Rightarrow \hat{N}|e, n\rangle = |e\rangle \otimes (\hat{a}^\dagger \sqrt{n}|(n-1)\rangle) + |e, n\rangle = |e\rangle \otimes (\sqrt{n} \sqrt{n}|n\rangle) + |e, n\rangle \\
&\Rightarrow \hat{N}|e, n\rangle = (n+1)|e, n\rangle \Rightarrow \langle e, n|\hat{N}|e, n\rangle = (n+1)
\end{aligned} \tag{4}$$

ahora bien, los términos cruzados serán

$$\langle e, n|\hat{N}|g, (n+1)\rangle = (n+1) \underbrace{\langle e|g\rangle}_{=0} \underbrace{\langle n|(n+1)\rangle}_{=0} = 0 \tag{5}$$

$$\Rightarrow \langle g, (n+1)|\hat{N}|e, n\rangle = (n+1) \underbrace{\langle g|e\rangle}_{=0} \underbrace{\langle n|(n+1)\rangle}_{=0} = 0 \tag{6}$$

Con este resultado y notando que los autoestados del operador \hat{N} también son autoestados del operador \hat{H}_0 tendremos que

$$\langle g, (n+1)|\hat{H}_0|g, (n+1)\rangle = \hbar\omega_c(n+1) \tag{7}$$

$$\langle e, n|\hat{H}_0|e, n\rangle = \hbar(\omega_c n + \omega_0) \tag{8}$$

$$\langle e, n|\hat{H}_0|g, (n+1)\rangle = \langle g, (n+1)|\hat{H}_0|e, n\rangle = 0 \tag{9}$$

Y de forma análoga para \hat{V}_0 tendremos, que los términos cruzados serán

$$\begin{aligned}
&\hat{V}_0|g, (n+1)\rangle = \hbar g(\hat{a}\hat{\sigma}_+ + \hat{a}^\dagger\hat{\sigma}_-)|g, (n+1)\rangle \\
&\Rightarrow \hat{V}_0|g, (n+1)\rangle = \hbar g(\hat{a}|e\rangle\langle g| + \hat{a}^\dagger|g\rangle\langle e|)|g, (n+1)\rangle \\
&\Rightarrow \hat{V}_0|g, (n+1)\rangle = \hbar g(|e\rangle \underbrace{\langle g|g\rangle}_{=1}) \otimes (\hat{a}|(n+1)\rangle) + \hbar g(|g\rangle \underbrace{\langle e|g\rangle}_{=0}) \otimes (\hat{a}^\dagger|(n+1)\rangle) \\
&\Rightarrow \hat{V}_0|g, (n+1)\rangle = \hbar g|e\rangle \otimes (\sqrt{(n+1)}|n\rangle) = \hbar g\sqrt{(n+1)}|e, n\rangle
\end{aligned}$$

y de forma análoga obtenemos que

$$\begin{aligned}
&\hat{V}_0|e, n\rangle = \hbar g(\hat{a}\hat{\sigma}_+ + \hat{a}^\dagger\hat{\sigma}_-)|e, n\rangle \\
&\Rightarrow \hat{V}_0|e, n\rangle = \hbar g(\hat{a}|e\rangle\langle g| + \hat{a}^\dagger|g\rangle\langle e|)|e, n\rangle \\
&\Rightarrow \hat{V}_0|e, n\rangle = \hbar g(|e\rangle \underbrace{\langle g|e\rangle}_{=0}) \otimes (\hat{a}|n\rangle) + \hbar g(|g\rangle \underbrace{\langle e|e\rangle}_{=1}) \otimes (\hat{a}^\dagger|n\rangle) \\
&\Rightarrow \hat{V}_0|e, n\rangle = \hbar g|g\rangle \otimes (\sqrt{(n+1)}|(n+1)\rangle) = \hbar g\sqrt{(n+1)}|g, (n+1)\rangle
\end{aligned}$$

entonces,

$$\Rightarrow \langle e, n|\hat{V}_0|g, (n+1)\rangle = \hbar g\sqrt{(n+1)} \underbrace{\langle e|e\rangle}_{=1} \underbrace{\langle n|n\rangle}_{=1} = \hbar g\sqrt{(n+1)} \tag{10}$$

$$\Rightarrow \langle g, (n+1)|\hat{V}_0|e, n\rangle = \hbar g\sqrt{(n+1)} \underbrace{\langle g|g\rangle}_{=1} \underbrace{\langle (n+1)|(n+1)\rangle}_{=1} = \hbar g\sqrt{(n+1)} \tag{11}$$

donde se uso que $g \in \mathbb{R}$. Ahora bien, los términos diagonales serán

$$\langle g, (n+1) | \hat{V}_0 | g, (n+1) \rangle = \hbar g \underbrace{\sqrt{(n+1)} \langle g | e \rangle}_{=0} \underbrace{\langle (n+1) | n \rangle}_{=0} = 0 \quad (12)$$

$$\Rightarrow \langle e, n | \hat{V}_0 | e, n \rangle = \hbar g \underbrace{\sqrt{(n+1)} \langle e | g \rangle}_{=0} \underbrace{\langle n | (n+1) \rangle}_{=0} = 0 \quad (13)$$

Luego, de forma matricial, los subespacios 2×2 del hamiltoniano \hat{H} serán

$$\hat{H} \Big|_n = \begin{pmatrix} |g, (n+1)\rangle & |e, n\rangle \\ \hbar \omega_c (n+1) & \hbar g \sqrt{(n+1)} & \langle g, (n+1) | \\ \hbar g \sqrt{(n+1)} & \hbar (\omega_c n + \omega_0) & \langle e, n | \end{pmatrix} \quad (14)$$

y de forma general tendremos que el operador \hat{H} es una matriz infinita, diagonal por bloques de la forma,

$$\hat{H} = \hbar \begin{pmatrix} |g, 1\rangle & |e, 0\rangle & |g, 2\rangle & |e, 1\rangle & \dots & |g, (n+1)\rangle & |e, n\rangle & \dots \\ \omega_c & \hbar g & 0 & 0 & & 0 & 0 & \\ \hbar g & \omega_0 & 0 & 0 & & 0 & 0 & \\ 0 & 0 & 2\omega_c & \sqrt{2}g & & 0 & 0 & \\ 0 & 0 & \sqrt{2}g & (\omega_c + \omega_0) & & 0 & 0 & \\ & & \vdots & & \ddots & \vdots & \vdots & \\ 0 & 0 & 0 & 0 & & \omega_c (n+1) & g \sqrt{(n+1)} & \\ 0 & 0 & 0 & 0 & & g \sqrt{(n+1)} & \hbar (\omega_c n + \omega_0) & \\ & & \vdots & & & \vdots & \vdots & \ddots & \vdots \end{pmatrix} \begin{matrix} \langle g, 1 | \\ \langle e, 0 | \\ \langle g, 2 | \\ \langle e, 1 | \\ \vdots \\ \langle g, (n+1) | \\ \langle e, n | \\ \vdots \end{matrix}$$

Inciso c)

De la expresión para $\hat{H} \Big|_n$ podremos re-escribir esta representación matricial del subespacio usando la definición de desintonía $\Delta = (\omega_c - \omega_0)$ de la forma

$$\begin{aligned} \hat{H} \Big|_n &= \hbar \begin{pmatrix} |g, (n+1)\rangle & |e, n\rangle \\ \omega_c (n+1) + (\Delta - \Delta)(n+1) & g \sqrt{(n+1)} & \langle g, (n+1) | \\ g \sqrt{(n+1)} & [\omega_c n + \omega_0 + (\Delta - \Delta)n] & \langle e, n | \end{pmatrix} \\ \Rightarrow \hat{H}(\Delta) \Big|_n &= \hbar \begin{pmatrix} |g, (n+1)\rangle & |e, n\rangle \\ (\Delta + \omega_0)(n+1) & g \sqrt{(n+1)} & \langle g, (n+1) | \\ g \sqrt{(n+1)} & [\Delta n + \omega_0(n+1)] & \langle e, n | \end{pmatrix} \end{aligned} \quad (15)$$

donde se usó que,

$$\begin{aligned} \omega_c (n+1) + (\Delta - \Delta)(n+1) &= \omega_c (n+1) + [(\omega_c - \omega_0) - (\omega_c - \omega_0)](n+1) \\ &\Rightarrow \omega_c (n+1) + (\Delta - \Delta)(n+1) = (\Delta + \omega_0)(n+1) \end{aligned} \quad (16)$$

$$\begin{aligned} [\omega_c n + \omega_0 + (\Delta - \Delta)n] &= \{\omega_c n + \omega_0 + [(\omega_c - \omega_0) - (\omega_c - \omega_0)]n\} \\ &\Rightarrow [\omega_c n + \omega_0 + (\Delta - \Delta)n] = [\Delta n + \omega_0(n+1)] \end{aligned} \quad (17)$$

Y los autovalores de este subespacio se calculan teniendo en cuenta el problema de autovalores,

según la ec. de Schrödinger independiente del tiempo de la forma,

$$\hat{H} \Big|_n |\phi_n\rangle = \epsilon_n |\phi_n\rangle$$

$$\Rightarrow \det \begin{pmatrix} [(\Delta + \omega_0)(n+1) - \epsilon_n] & g\sqrt{(n+1)} \\ g\sqrt{(n+1)} & [\Delta n + \omega_0(n+1) - \epsilon_n] \end{pmatrix} = 0$$

de forma general tendremos, (resolviendo con Mathematica)

$$\Rightarrow \epsilon_n^\pm = \frac{1}{2} \left((2n+1)(\Delta + \omega_0) \pm \sqrt{[\Delta^2 + 4g^2(n+1)]} \right) \quad (18)$$

$$\langle \phi_n^\pm | = \begin{pmatrix} -\frac{[-\Delta \pm \sqrt{[\Delta^2 + 4g^2(n+1)]}]}{2g\sqrt{(n+1)}}, & 1 \end{pmatrix} \quad (19)$$

analizando el caso particular de $n = 0$, tendremos los siguientes autovalores y autovectores,

$$n = 0 \Rightarrow \det \begin{pmatrix} (\Delta + \omega_0 - \epsilon_0) & g \\ g & (\omega_0 - \epsilon_0) \end{pmatrix} = 0$$

$$\Rightarrow \epsilon_0^\pm = \frac{1}{2} \left(\Delta + 2\omega_0 \pm \sqrt{(\Delta^2 + 4g^2)} \right); \langle \phi_0^\pm | = \begin{pmatrix} -\frac{[-\Delta \pm \sqrt{(\Delta^2 + 4g^2)}]}{2g} & 1 \end{pmatrix} \quad (20)$$

$$n = 1 \Rightarrow \det \begin{pmatrix} [2(\Delta + \omega_0) - \epsilon_1] & g\sqrt{2} \\ g\sqrt{2} & (\Delta + 2\omega_0 - \epsilon_1) \end{pmatrix} = 0$$

$$\Rightarrow \epsilon_1^\pm = \frac{1}{2} \left(3\Delta + 4\omega_0 \pm \sqrt{(\Delta^2 + 8g^2)} \right); \langle \phi_1^\pm | = \begin{pmatrix} -\frac{\sqrt{2}[-\Delta \pm \sqrt{(\Delta^2 + 8g^2)}]}{4g} & 1 \end{pmatrix} \quad (21)$$

y analizando los límites tendremos (considerando que $\omega_0 \gg g$),

Límite muy cerca de resonancia $\Delta \rightarrow 0$

Autoenergías

$$\lim_{\Delta \rightarrow 0} \epsilon_0^\pm = (\omega_0 \pm g) \Rightarrow \lim_{\Delta \rightarrow 0} \Delta \epsilon_0 = (\epsilon_0^+ - \epsilon_0^-) = 2g \rightarrow (\text{gap}) \quad (22)$$

$$\lim_{\Delta \rightarrow 0} \epsilon_1^\pm = (2\omega_0 \pm \sqrt{2}g) \Rightarrow \lim_{\Delta \rightarrow 0} \Delta \epsilon_1 = (\epsilon_1^+ - \epsilon_1^-) = 2\sqrt{2}g \rightarrow (\text{gap}) \quad (23)$$

Autoestados

$$\lim_{\Delta \rightarrow 0} \langle \phi_0^\pm | = (\mp 1 \quad 1) \equiv \frac{(\langle e, 0 | \mp \langle g, 1 |)}{\sqrt{2}} \quad (24)$$

$$\lim_{\Delta \rightarrow 0} \langle \phi_1^\pm | = (\mp 1 \quad 1) \equiv \frac{(\langle e, 1 | \mp \langle g, 2 |)}{\sqrt{2}} \quad (25)$$

Límite muy lejos de resonancia $\Delta \rightarrow \infty$

Autoenergías

$$\lim_{\Delta \rightarrow \infty} \epsilon_0^\pm = \omega_0 + \frac{(\Delta \pm \Delta)}{2} = \begin{cases} \lim_{\Delta \rightarrow \infty} \epsilon_0^+ = (\omega_0 + \Delta) \\ \lim_{\Delta \rightarrow \infty} \epsilon_0^- = \omega_0 \end{cases} \quad (26)$$

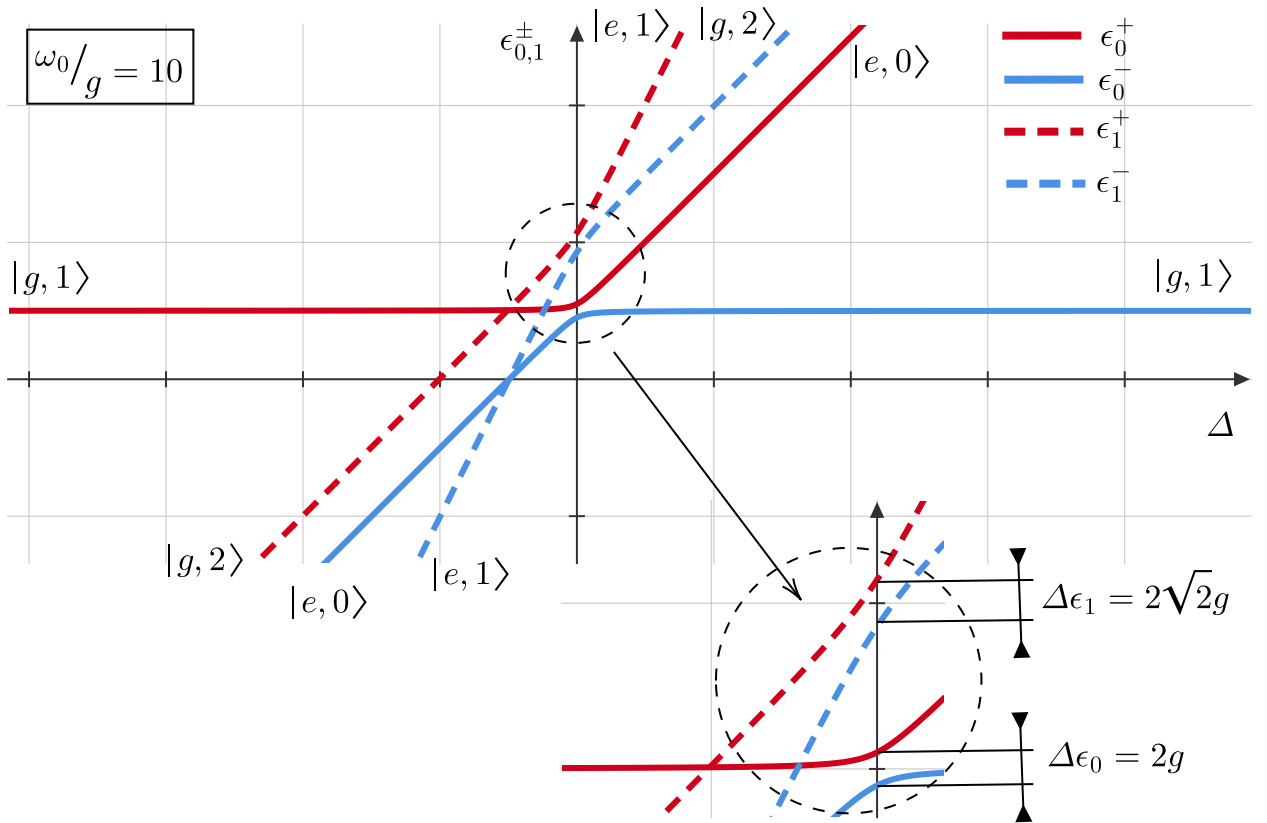
$$\lim_{\Delta \rightarrow \infty} \epsilon_1^{\pm} = 2\omega_0 + \frac{3(\Delta \pm \Delta)}{2} = \begin{cases} \lim_{\Delta \rightarrow \infty} \epsilon_1^+ = (2\omega_0 + 3\Delta) \\ \lim_{\Delta \rightarrow \infty} \epsilon_1^- = 2\omega_0 \end{cases} \quad (27)$$

Autoestados

$$\lim_{\Delta \rightarrow \infty} \langle \phi_0^{\pm} | = \begin{pmatrix} \frac{(\Delta \mp \Delta)}{2g} & 1 \end{pmatrix} = \begin{cases} \lim_{\Delta \rightarrow \infty} \langle \phi_0^+ | = (0 \ 1) \equiv \langle e, 0 | \\ \lim_{\Delta \rightarrow \infty} \langle \phi_0^- | = \lim_{\Delta \rightarrow \infty} \left(\frac{\Delta}{g} \ 1 \right) = (1 \ 0) \equiv \langle g, 1 | \end{cases} \quad (28)$$

$$\lim_{\Delta \rightarrow \infty} \langle \phi_1^{\pm} | = \begin{pmatrix} \frac{\sqrt{2}(\Delta \mp \Delta)}{4g} & 1 \end{pmatrix} = \begin{cases} \lim_{\Delta \rightarrow \infty} \langle \phi_1^+ | = (0 \ 1) \equiv \langle e, 1 | \\ \lim_{\Delta \rightarrow \infty} \langle \phi_1^- | = \lim_{\Delta \rightarrow \infty} \left(\frac{\sqrt{2}\Delta}{2g} \ 1 \right) = (1 \ 0) \equiv \langle g, 2 | \end{cases} \quad (29)$$

y gráficamente tendremos,

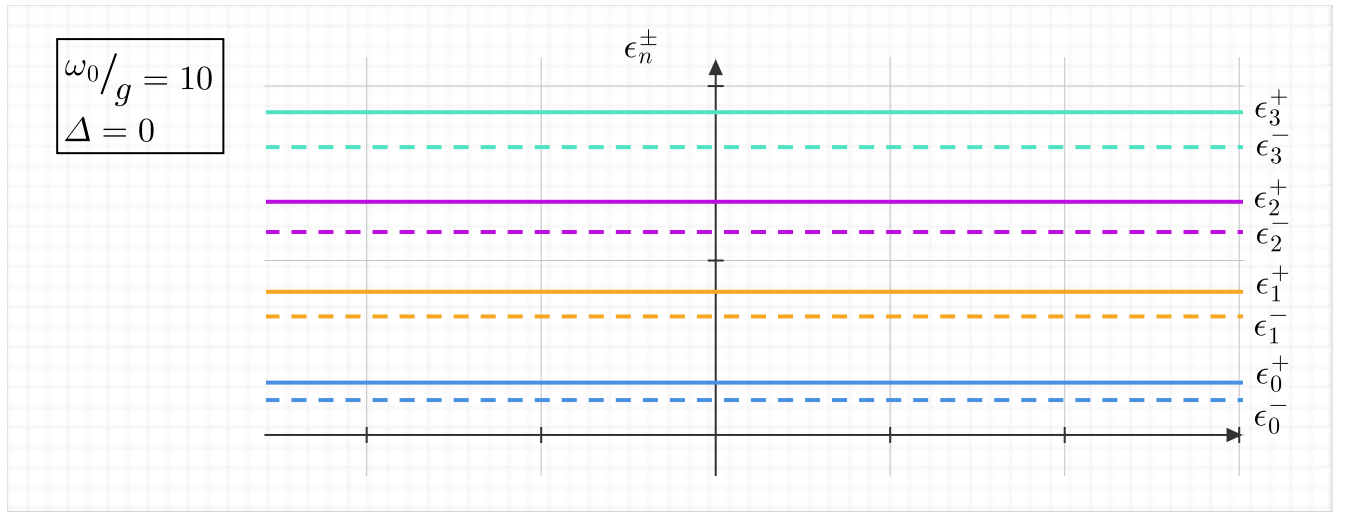


Inciso d)

Para el caso resonante ($\Delta \rightarrow 0$) tendremos que, los autoestados y autoenergías serán

$$\Rightarrow \epsilon_n^{\pm} = \left(\frac{1}{2}(2n+1)\omega_0 \pm g\sqrt{(n+1)} \right); \langle \phi_n^{\pm} | = (\mp 1, \ 1) \equiv \frac{(\langle e, n | \mp \langle g, (n+1) |)}{\sqrt{2}} \quad (30)$$

y gráficamente, los primeros ocho niveles para el caso resonante serán,



Teniendo en cuenta que el hamiltoniano del sistema es bloco-diagonal podremos considerar un único sub-bloque 2×2 (subespacio) y diagonalizarlo de la forma, obteniendo una base de autoestados $\mathcal{B}_n := \{|\phi_n^1, \phi_n^2\rangle\}$ y asociados a los autovalores $\{\epsilon_n^1, \epsilon_n^2\}$ entonces la evolución de un estado inicial de la forma $|\psi_0\rangle$ será, según la ec. de Schrödinger, de la forma

$$|\psi(t)\rangle = \sum_{k=1}^2 \exp\left(-i\epsilon_n^k \Delta t / \hbar\right) |\psi_0\rangle \quad (31)$$

y teniendo en cuenta que cualquier estado inicial $|\psi_0\rangle$ se puede descomponer en la base de autoestados del subespacio del hamiltoniano \mathcal{B}_n

$$|\psi_0\rangle = \sum_{k=1}^2 c_k^{\psi_0} |\phi_n^k\rangle \quad (32)$$

entonces

$$|\psi(t)\rangle = \sum_{k=1}^2 c_k^{\psi_0} \exp\left(-i\epsilon_n^k \Delta t / \hbar\right) |\phi_n^k\rangle \quad (33)$$

Luego, la probabilidad de población, partiendo de un estado $|\chi\rangle$ general tendremos,

$$\begin{aligned} p_\chi(t) &= \|\langle\chi|\psi(t)\rangle\|^2 = \left\| \langle\chi| \sum_{k=1}^2 c_k^{\psi_0} \exp\left(-i\epsilon_n^k \Delta t / \hbar\right) |\phi_n^k\rangle \right\|^2 \\ \text{como } |\chi\rangle &= \sum_{l=1}^2 c_l^\chi |\phi_n^l\rangle \Rightarrow p_\chi(t) = \left\| \sum_{l=1}^2 (c_l^\chi)^* \langle\phi_n^l| \sum_{k=1}^2 c_k^{\psi_0} \exp\left(-i\epsilon_n^k \Delta t / \hbar\right) |\phi_n^k\rangle \right\|^2 \\ &\Rightarrow p_\chi(t) = \left\| \sum_{k,l=1}^2 (c_l^\chi)^* c_k^{\psi_0} \exp\left(-i\epsilon_n^k \Delta t / \hbar\right) \underbrace{\langle\phi_n^l|\phi_n^k\rangle}_{=\delta_{l,k}} \right\|^2 \\ &\Rightarrow p_\chi(t) = \left\| \sum_{k=1}^2 (c_k^\chi)^* c_k^{\psi_0} \exp\left(-i\epsilon_n^k \Delta t / \hbar\right) \right\|^2 \end{aligned} \quad (34)$$

para el caso particular en que $|\psi_0\rangle = |g, (n+1)\rangle$ y $|\chi\rangle = |e, n\rangle$ tendremos, para el caso resonante $\Delta \rightarrow 0$ entonces los autoestados y autoenergías son

$$\left\{ \begin{array}{l} \epsilon_n^1 = \left(\frac{1}{2}(2n+1)\omega_0 + g\sqrt{(n+1)} \right) \\ \epsilon_n^1 = \left(\frac{1}{2}(2n+1)\omega_0 - g\sqrt{(n+1)} \right) \end{array} \right\}; \left\{ \begin{array}{l} |\phi_n^1\rangle = \frac{1}{\sqrt{2}}[|e, n\rangle - |g, (n+1)\rangle] \\ |\phi_n^2\rangle = \frac{1}{\sqrt{2}}[|e, n\rangle + |g, (n+1)\rangle] \end{array} \right.$$

entonces,

$$\begin{aligned} |g, (n+1)\rangle &= \frac{c_1^{\psi_0}}{\sqrt{2}}[|e, n\rangle - |g, (n+1)\rangle] + \frac{c_2^{\psi_0}}{\sqrt{2}}[|e, n\rangle + |g, (n+1)\rangle] \\ \Rightarrow |g, (n+1)\rangle &= \frac{1}{\sqrt{2}}[(c_1^{\psi_0} + c_2^{\psi_0})|e, n\rangle + (c_2^{\psi_0} - c_1^{\psi_0})|g, (n+1)\rangle] \end{aligned}$$

y de forma análoga para $|\chi\rangle$ tendremos,

$$|e, n\rangle = \frac{1}{\sqrt{2}}[(c_1^\chi + c_2^\chi)|e, n\rangle + (c_2^\chi - c_1^\chi)|g, (n+1)\rangle]$$

y se deberá cumplir que

$$\begin{pmatrix} 1/\sqrt{2} & 1/\sqrt{2} \\ -1/\sqrt{2} & 1/\sqrt{2} \end{pmatrix} \begin{pmatrix} c_1^{\psi_0} \\ c_2^{\psi_0} \end{pmatrix} = \begin{pmatrix} 0 \\ 1 \end{pmatrix} \Rightarrow c_1^{\psi_0} = \frac{-1}{\sqrt{2}}; c_2^{\psi_0} = \frac{1}{\sqrt{2}} \quad (35)$$

$$\begin{pmatrix} 1/\sqrt{2} & 1/\sqrt{2} \\ -1/\sqrt{2} & 1/\sqrt{2} \end{pmatrix} \begin{pmatrix} c_1^\chi \\ c_2^\chi \end{pmatrix} = \begin{pmatrix} 1 \\ 0 \end{pmatrix} \Rightarrow c_1^\chi = \frac{1}{\sqrt{2}}; c_2^\chi = \frac{1}{\sqrt{2}} \quad (36)$$

y la probabilidad de población serán, considerando que $\Delta t = \underbrace{(t_f)}_{=t} - \underbrace{(t_0)}_{=0} = t$

$$\begin{aligned} p_e^n(t) &= \left\| (c_1^\chi)^* c_1^{\psi_0} \exp\left(\frac{-i\epsilon_n^1 t}{\hbar}\right) + (c_2^\chi)^* c_2^{\psi_0} \exp\left(\frac{-i\epsilon_n^2 t}{\hbar}\right) \right\|^2 \\ \Rightarrow p_e^n(t) &= \left\| \frac{-1}{2} \exp\left(\frac{-i\epsilon_n^1 t}{\hbar}\right) + \frac{1}{2} \exp\left(\frac{-i\epsilon_n^2 t}{\hbar}\right) \right\|^2 = \frac{1}{4} \underbrace{\left\| \exp\left(\frac{-i\epsilon_n^2 t}{\hbar}\right) - \exp\left(\frac{-i\epsilon_n^1 t}{\hbar}\right) \right\|^2}_{=\star} \end{aligned}$$

y desarrollando este último término tendremos,

$$\begin{aligned} \star &= \left\| -\left[\cos\left(\frac{\epsilon_n^1 t}{\hbar}\right) - \cos\left(\frac{\epsilon_n^2 t}{\hbar}\right) \right] + i \left[\sin\left(\frac{\epsilon_n^1 t}{\hbar}\right) - \sin\left(\frac{\epsilon_n^2 t}{\hbar}\right) \right] \right\|^2 \\ \Rightarrow \star &= \left| \cos\left(\frac{\epsilon_n^1 t}{\hbar}\right) - \cos\left(\frac{\epsilon_n^2 t}{\hbar}\right) \right|^2 + \left| \sin\left(\frac{\epsilon_n^1 t}{\hbar}\right) - \sin\left(\frac{\epsilon_n^2 t}{\hbar}\right) \right|^2 \end{aligned}$$

y recordando las siguientes propiedades trigonométricas

$$\begin{cases} \cos(\alpha_1 \pm \beta_1) = \cos(\alpha_1)\cos(\beta_1) \mp \sin(\alpha_1)\sin(\beta_1) \\ \sin(\alpha_2 \pm \beta_2) = \sin(\alpha_2)\cos(\beta_2) \pm \cos(\alpha_2)\sin(\beta_2) \end{cases}$$

$$\Rightarrow \begin{cases} [\cos(\alpha_1 - \beta_1) - \cos(\alpha_1 + \beta_1)] = 2 \sin(\alpha_1) \sin(\beta_1) \\ [\sin(\alpha_2 + \beta_2) - \sin(\alpha_2 - \beta_2)] = 2 \cos(\alpha_2) \sin(\beta_2) \end{cases}$$

entonces, si consideramos

$$\alpha_1 = \alpha_2 = \frac{t(\epsilon_n^1 + \epsilon_n^2)}{2\hbar}; \beta_1 = -\beta_2 = \frac{-t(\epsilon_n^1 - \epsilon_n^2)}{2\hbar}$$

luego

$$\begin{aligned} \star &= \left| 2 \sin \left[\frac{t(\epsilon_n^1 + \epsilon_n^2)}{2\hbar} \right] \sin \left[\frac{-t(\epsilon_n^1 - \epsilon_n^2)}{2\hbar} \right] \right|^2 + \left| 2 \cos \left[\frac{t(\epsilon_n^1 + \epsilon_n^2)}{2\hbar} \right] \sin \left[\frac{t(\epsilon_n^1 - \epsilon_n^2)}{2\hbar} \right] \right|^2 \\ \Rightarrow \star &= 4 \underbrace{\left\{ \sin^2 \left[\frac{t(\epsilon_n^1 + \epsilon_n^2)}{2\hbar} \right] + \cos^2 \left[\frac{t(\epsilon_n^1 + \epsilon_n^2)}{2\hbar} \right] \right\}}_{=1} \sin^2 \left[\frac{t(\epsilon_n^1 - \epsilon_n^2)}{2\hbar} \right] = 4 \sin^2 \left[\frac{t(\epsilon_n^1 - \epsilon_n^2)}{2\hbar} \right] \end{aligned}$$

entonces,

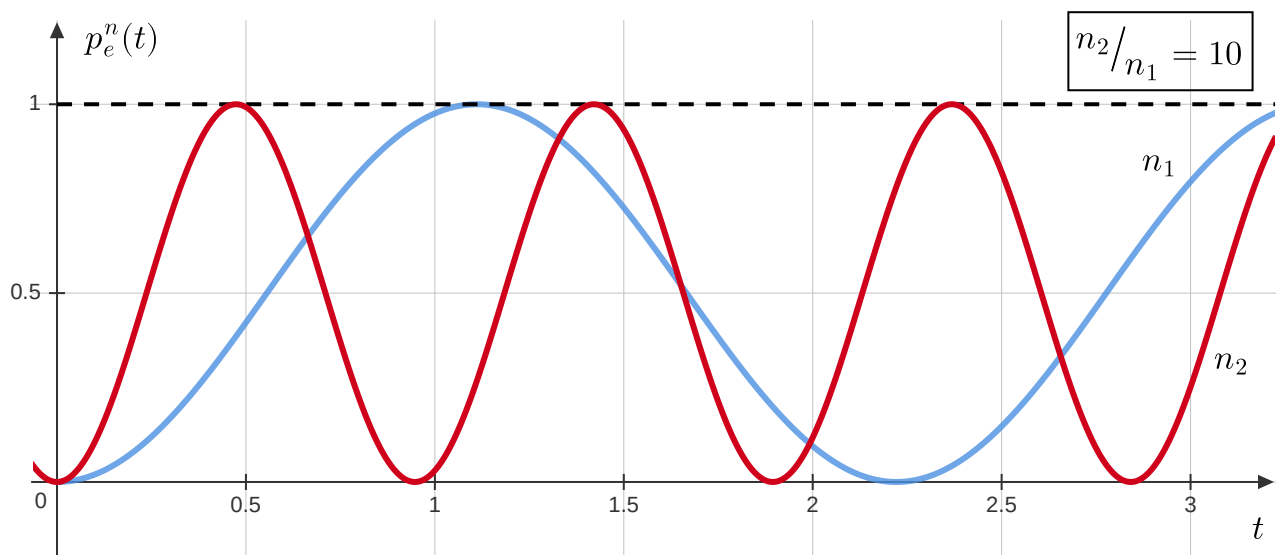
$$\Rightarrow p_e^n(t) = \sin^2 \left[\frac{t(\epsilon_n^1 - \epsilon_n^2)}{2\hbar} \right]$$

reemplazando las expresiones de las autoenergías tendremos,

$$\begin{aligned} (\epsilon_n^1 - \epsilon_n^2) &= \left(\frac{1}{2}(2n+1)\omega_0 + g\sqrt{n+1} \right) - \left(\frac{1}{2}(2n+1)\omega_0 - g\sqrt{n+1} \right) \\ \Rightarrow (\epsilon_n^1 - \epsilon_n^2) &= 2g\sqrt{n+1} \Rightarrow \boxed{p_e^n(t) = \sin^2 \left[\frac{g\sqrt{n+1}}{\hbar} t \right]} \end{aligned} \quad (37)$$

cuya frecuencia de oscilación es

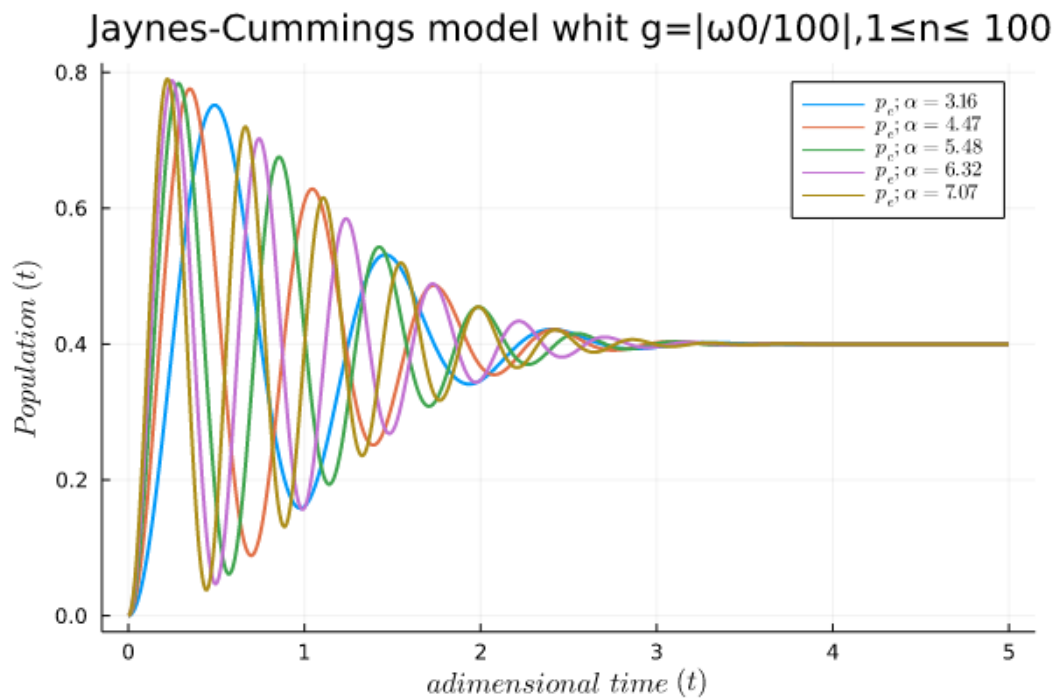
$$\omega_e = \frac{g\sqrt{n+1}}{\hbar}$$



Inciso e)

Ejercicio Numérico (ver en código en Julia desde repositorio GitHub)

El resultado obtenido se muestra en la siguiente gráfica



Links

https://www.researchgate.net/publication/287039109_The_Jaynes-Cummings_model

Referencias

Roldán, E. (2011). The Jaynes-Cummings model. *Optica Pura y Aplicada*, 44, 361–379.